

# **Symulacja tomografu komputerowego przy użyciu Transformaty Radona**

Aleksandra Jarzyńska  
Grzegorz Bryk

# Spis treści

1 Wstęp.....	3
1.1 Technologie.....	3
1.2 Przykładowe rezultaty.....	3
2 Opis implementacji.....	5
2.1 Algorytm Brasenhama.....	5
2.1.1 Argumenty.....	6
2.2 Klasa Radon.....	7
2.2.1 Konstruktor.....	7
Argumenty.....	8
2.2.2 Ogólny zarys modelu i sposobu realizacji algorytmów.....	8
2.2.3 Integracja z biblioteką brasenham.so.....	9
2.2.4 Konstrukcja sinogramu.....	10
2.2.5 Rekonstrukcja obrazu i filtrowanie.....	11

# 1 Wstęp

Celem projektu jest wykonanie symulacji Tomografu Komputerowego (CT) przy użyciu Transformaty Radona. Obraliśmy stożkowy model tomografu, z jednym emitorem i wieloma detektorami.

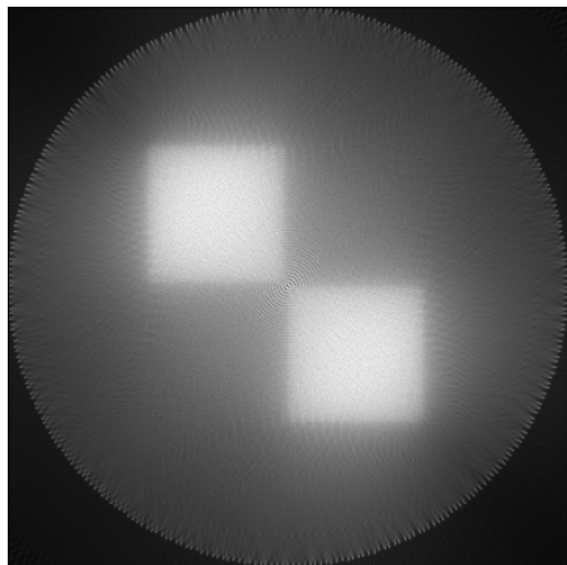
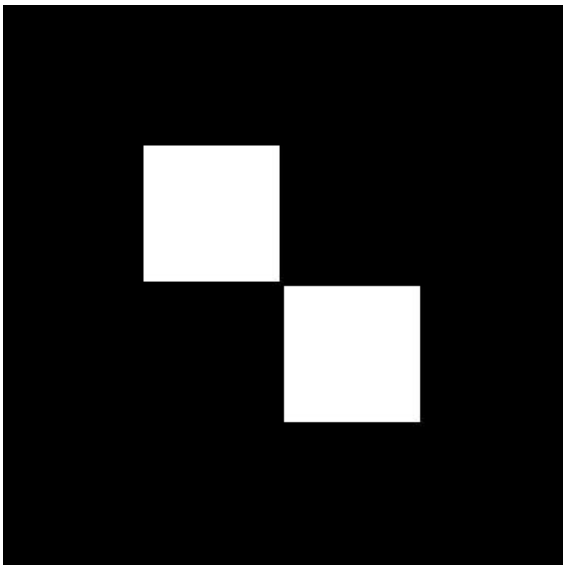
## 1.1 Technologie

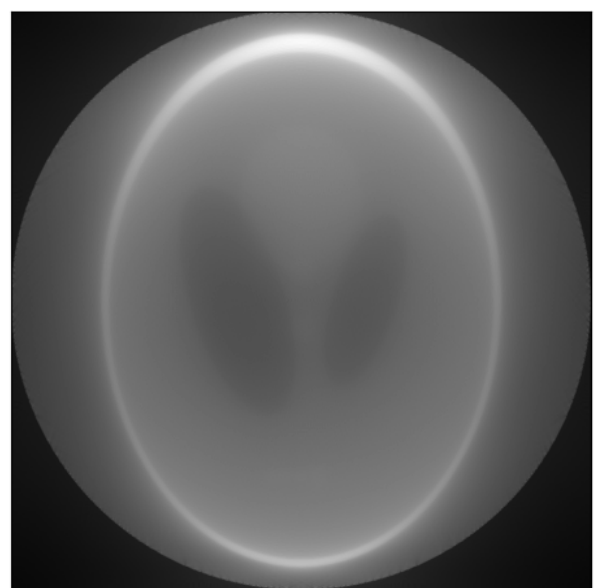
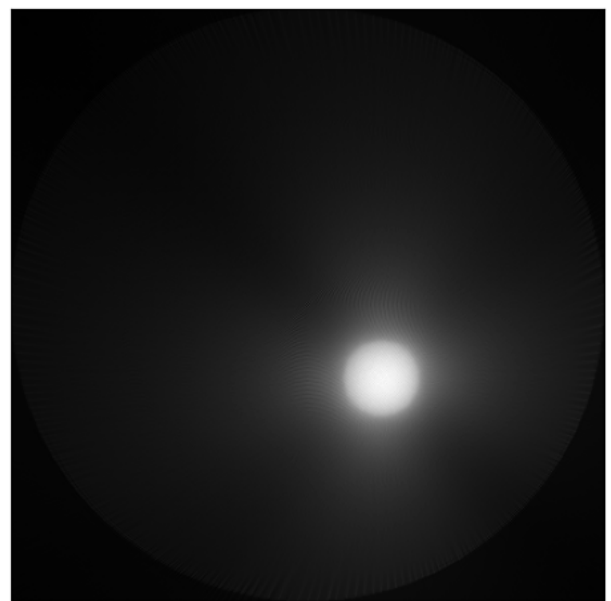
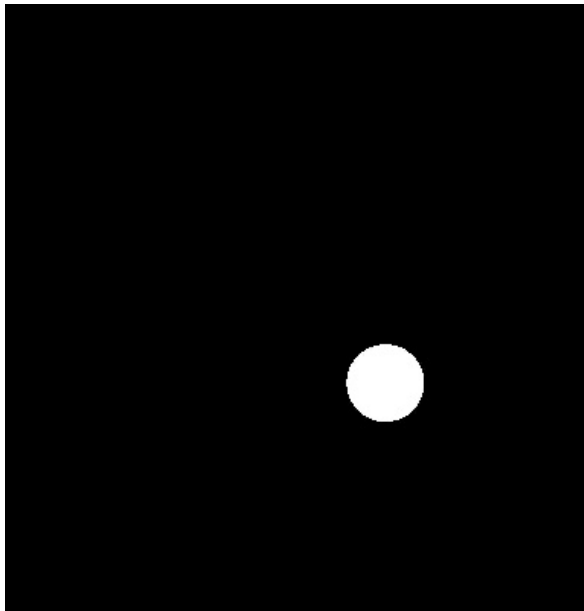
Do implementacji symulacji wykorzystaliśmy język Python w wersji 3.8. GUI zostało zaimplementowane w bibliotece Tkinter. Do obliczeń użyliśmy biblioteki NumPy, a do wizualizacji wyników Matplotlib.

Ponieważ po profilowaniu pierwszego rozwiązania okazało się, że funkcja realizująca algorytm Brasenhama zajmuje około 70% czasu całego wykonania cyklu: obraz oryginalny → sinogram → rekonstrukcja obrazu, zdecydowaliśmy się wyekstrachować tę funkcję do osobnego pliku. W ten sposób powstała jej implementacja w języku C, zapisana w pliku `brassenham.c`, którą skompilowaliśmy do biblioteki `brassenham.so`; ta biblioteka jest importowana w kodzie Pythona i wykorzystywana do obliczania przebiegu linii. To pozwoliło skrócić czas wykonywania całości algorytmu o ok. 50%.

## 1.2 Przykładowe rezultaty

W wyniku działania algorytmu otrzymaliśmy następujące rekonstrukcje przykładowych obrazów:





## 2 Opis implementacji

### 2.1 Algorytm Brasenham

Algorytm Brasenham służy wyznaczeniu współrzędnych kolejnych pikseli odpowiadających dyskretnemu przybliżeniu przebiegu odcinka o określonym początku i końcu. W naszej implementacji podanie współrzędnych końca służy jedynie wyliczeniu kierunku biegu półprostej, a punkty są wyznaczane aż do osiągnięcia krawędzi obrazu. Algorytm zrealizowano w języku C, w osobnym pliku `brassenham.c`; oto jego zawartość:

```
#include <stdbool.h>
#include <stdlib.h>

void brassenham(int height, int width, int y0, int x0, int y1, int x1, bool *result) {
    //result[y][x] = result[y * width + x];

    int dx = x1 - x0;
    int dy = y1 - y0;

    int xsign = dx / abs(dx);
    int ysign = dy / abs(dy);

    dx = abs(dx);
    dy = abs(dy);

    int xx, xy, yx, yy;

    if (dx > dy) {
        xx = xsign;
        xy = 0;
        yx = 0;
        yy = ysign;
    } else {
        int tdy = dy;
        dy = dx;
        dx = tdy;
        xx = 0;
        xy = ysign;
        yx = xsign;
        yy = 0;
    }

    int D = 2 * dy - dx;
    int x = 0, y = 0;

    int dy2 = 2 * dy;
    int dx2 = 2 * dx;

    int xr = x0 + x * xx + y * yx;
    int yr = y0 + x * xy + y * yy;

    while (0 <= xr && xr < width && 0 <= yr && yr < height) {
        result[yr * width + xr] = true;

        if (D >= 0) {
            y += 1;
            D -= dx2;
        }

        D += dy2;
        x += 1;

        xr = x0 + x * xx + y * yx;
        yr = y0 + x * xy + y * yy;
    }
}
```

*Listing 1: brassenham.c*

Początek pliku to importy potrzebnych bibliotek. *stdbool.h* dostarcza typ *bool* oraz stałe *true* i *false*. Plik *stdlib.h* dostarcza funkcję *int abs(int)*. Poniżej następuje definicja funkcji *brassenham*;

### 2.1.1 Argumenty

- *height* – całkowita wysokość obrazu na którym wyznaczana jest prosta,
- *width* – całkowita szerokość obrazu na którym wyznaczana jest prosta,
- *y0* – współrzędna pionowa punktu początkowego półprostej,
- *x0* – współrzędna pozioma punktu początkowego półprostej,
- *y1* – współrzędna pionowa punktu końcowego odcinka,
- *x1* – współrzędna pionowa punktu końcowego odcinka,
- *result* – wskaźnik na obszar pamięci w którym zapisane zostają wyniki działania funkcji.

Ze względu na to, że funkcja jest przeznaczona do współpracy z kodem pythonowym, dość specyficznie zwraca rezultat swoich obliczeń. Przed wywołaniem, z poziomu Pythona alokowana jest tablica typu *bool* o rozmiarze *height\*width*. Wspomniana tablica (wskaźnik na jej początek) jest przekazywana do kodu w C jako argument *result*. W ten sposób w tablicy mamy po jednym bicie na każdy piksel obrazu na którym pracujemy. Ponieważ użycie tablicy dwuwymiarowej wymagałoby tworzenia i rozwiązywania tablicy wskaźników, korzystamy z przekształcenia tablicy dwuwymiarowej na jednowymiarową zgodnie z wzorem  $tab[y][x] = tab[y * width + x]$ . Algorytm, wyznaczając kolejne wartości *y*, *x*, zamiast je zwracać, ustawia w strukturze *result* bit odpowiadający danemu miejscu w obrazie – *result[y][x]*.

Plik został skompilowany do pliku biblioteki dołączalnej *brassenham.so* z pomocą poniższego polecenia:

```
cc --std=c11 -fPIC -shared -o brassenham.so brassenham.c
```

## 2.2 Klasa Radon

Klasa Radon zawiera implementację symulacji tomografu, obejmuje to zarówno przekształcanie obrazu źródłowego w sinogram, jak i odwrotną transformatę Radona, z sinogramu do obrazu odtworzonego. Oprócz tego zawiera implementację filtrowania obrazu wynikowego oraz animacji zarówno sinogramu jak i rekonstrukcji.

### 2.2.1 Konstruktor

Oto początek owej klasy:

```
class Radon:
    brasenham_lib = CDLL("/home/prance/PycharmProjects/IwM/CT/brasenham.so")

    def __init__(self, bitmap_path: str, da: float, detectors_no: int, span: float,
                  dicom: bool = False): # da, span in radians

        if dicom:
            self._dicom = DICOMhandler().load(bitmap_path)
            self._bitmap = self._dicom.bitmap
        else:
            self._bitmap = plt.imread(bitmap_path).astype('float64')
            if len(self._bitmap.shape) == 3:
                self._bitmap = self._bitmap[:, :, 0]

        self._h, self._w = self._bitmap.shape
        self._sinogram = None
        self._center = np.array((self._h - 1, self._w - 1)) / 2
        self._da = da
        self._steps = int(2 * np.pi / da)
        self._initial_emitter_vector = np.array((0, (self._w - 1))) / 2
        self._rotation_angle = 0
        self._emitter = self._center + self._initial_emitter_vector
        self._detectors_no = detectors_no
        self._emitter_to_1st_detector = np.pi - (span / 2)
        self._detectors = np.zeros((detectors_no, 2))
        self._angle_between_detectors = span / (detectors_no - 1)
        self._calculate_detectors()
        self._reconstructed_bitmap = None
        self._reconstructed_unnormed = None
        self._c_array_type = c_bool * (self._h * self._w)
```

Listing 2: Konstruktor klasy Radon

Na początku, jako parametr wspólny dla wszystkich instancji klasy, ustawiany zostaje *brasenham\_lib*. Jego wartością jest biblioteka zaimportowana z pliku *brasenham.so* – wynik kompilacji pliku *brasenham.c*.

Poniżej znajduje się konstruktor klasy.

## Argumenty

- `bitmap_path` – ścieżka do obrazu źródłowego,
- `da` –  $\Delta\alpha$  – krok układu emiter-detektory wyrażony w radianach,
- `detectors_no` – liczba detektorów,
- `span` – rozstaw detektorów wyrażony w radianach,
- `dicom` – parametr określający czy obraz podany w `bitmap_path` jest zapisany w formacie DICOM.

## 2.2.2 Ogólny zarys modelu i sposobu realizacji algorytmów

Zdecydowaliśmy się wykonywać wszelkie obliczenia w układzie współrzędnych bitmapy, to jest w układzie Y, X, gdzie Y to oś pionowa o współrzędnych rosnących „na południe”, a X to oś pozioma o współrzędnych rosnących „na wschód”. W tym układzie współrzędnych środek obrazu, a co za tym idzie środek obrotu układu emiter-detektory wypada w punkcie  $(height / 2, width / 2)$ . Jednak obrót wektora o początku w punkcie innym niż początek układu współrzędnych jest o wiele bardziej skomplikowany. Stąd wyliczanie pozycji emitery i detektorów w każdym kroku jest najpierw przeprowadzane przy założeniu że środek układu znajduje się w początku układu współrzędnych, a potem wszystkie wyliczone pozycje są przesuwane o wektor  $(height / 2, width / 2)$ .

```
def _rotate(self):
    self._rotation_angle += self._da
    self._calculate_emitter()
    self._calculate_detectors()

def _calculate_emitter(self):
    mag = np.linalg.norm(self._initial_emitter_vector)
    s = np.sin(self._rotation_angle)
    c = np.cos(self._rotation_angle)
    self._emitter = (mag * s, mag * c)
    self._emitter += self._center

def _calculate_detectors(self):
    start_to_detector = self._rotation_angle + self._emitter_to_1st_detector
    mag = np.linalg.norm(self._initial_emitter_vector)
    for i in range(self._detectors_no):
        s = np.sin(start_to_detector)
        c = np.cos(start_to_detector)
        self._detectors[i] = (mag * s, mag * c)
        start_to_detector += self._angle_between_detectors
    self._detectors += self._center
```

Listing 3: Obliczanie pozycji emitery i detektorów

Na początku każdego skanu zmienna `rotation_angle` jestg powiększana o wartość `da`. W ten sposób zawsze przechowuje kąt między pozycją początkową, a obecną pozycją emitery. Funkcja `_calculate_emitter` służy wliczeniu pozycji emitery przy zadanym kącie obrotu względem pozycji początkowej. Dokonuje tego przy pomocy znanego wzoru  $(L\sin\alpha, L\cos\alpha)$ , gdzie  $L$  to długość wektora.



Ponieważ początkową pozycję emitera ustaliliśmy na  $(height / 2, width)$ , to wektor położenia emitera ma długość  $width / 2$  (jednak na wypadek zmiany położenia początkowego, każdorazowo jego długość jest wyliczana funkcją `norm`).

Funkcja cd wytlicza pozycje detektorów. Wykorzystuje do tego powyższy wzór, przy czym kąty obrotów są wyliczane poprzez dodanie do obecnego kąta obrotu kąta między emiterym a pierwszym detektorem i dodawanie odpowiedniej wielokrotności rozstawu detektorów podzielonego przez ich liczbę. Na koniec całość przesuwana jest o wektor do środka układu.

## 2.2.3 Integracja z biblioteką `brassenham.so`

```
def _brassenham(self, p0, p1):
    result = self._c_array_type()
    y0, x0 = map(int, np.round(p0))
    y1, x1 = map(int, np.round(p1))
    self.brassenham_lib.brassenham(self._h, self._w, y0, x0, y1, x1, byref(result))

    result = np.array(result)
    result.shape = self._h, self._w

    return result
```

Listing 4: `_brassenham`

Funkcja najpierw alokuje pamięć na wynik działania funkcji w C, następnie rozkłada punkt początkowy i końcowy na współrzędne, po czym wywołuje funkcję biblioteczną z odpowiednimi parametrami. Po wypełnieniu przez bibliotekę, struktura wynikowa jest konwertowana do typu `NumPy.Array`, a następnie jej kształt jest dostosowywany z jednowymiarowej, do dwuwymiarowej zgodnej z wymiarami obrazu. Tak spreparowany wynik jest zwracany.

## 2.2.4 Konstrukcja sinogramu

```
def _sinogram_step(self, step: int, anim: bool = False):
    self._rotate()
    for i, d in enumerate(self._detectors):
        self._sinogram[i][step] = np.mean(self._bitmap[self._brassenham(self._emitter, d)])

    if anim:
        norm = self._sinogram.max()
        return self._sinogram / norm * 255.0

def sinogram(self):
    self._sinogram = np.zeros((self._detectors_no, self._steps), dtype='float64')
    for i in range(self._steps):
        self._sinogram_step(i)

    norm = self._sinogram.max()
    self._sinogram = self._sinogram / norm * 255.0
    return self._sinogram

def sinogram_animated(self):
    self._sinogram = np.zeros((self._detectors_no, self._steps), dtype='float64')
    fig = plt.figure()

    a = self._sinogram_step(0, anim=True)
    im = plt.imshow(a, interpolation='none', aspect='auto', vmin=0, vmax=1, cmap='gray')

    def animate_func(i):
        im.set_array(self._sinogram_step(i, anim=True))
        return [im]

    ani = anim.FuncAnimation(
        fig,
        animate_func,
        frames=range(1, self._steps),
        interval=1
    )
    plt.show()
```

Listing 5: Funkcje konstrukcji sinogramu

Sinogram jest konstruowany poprzez wyznaczenie odcinków od emitera do każdego z detektorów z pomocą algorytmu Brassenhama, a następnie zapisaniu jako wartości odczytanej na detektorze średniej wartości pikseli z tego odcinka. Normalizacja sinogramu to pomnożenie wartości każdego z jego pikseli przez 255 i podzielenie przez największą wartość z sinogramu. Wartym wytłumaczenia trickiem w powyższym kodzie jest indeksowanie bitmapy bezpośrednio wynikiem funkcji `_brassenham`. Wykorzystujemy tutaj interfejs klasy `NumPy.Array`, która pozwala na indeksowanie z pomocą struktury Boolowskiej, o wymiarach tożsamy z wymiarami struktury indeksowanej. Jest to wielokrotnie szybsze w wykonaniu niż iterowanie przez wszystkie pary (y, x) zwracane przez algorytm Brassenhama w wersji klasycznej i indeksowanie nimi bitmapy.

## 2.2.5 Rekonstrukcja obrazu i filtrowanie

Rekonstrukcja obrazu oryginalnego przebiega bardzo podobnie do konstrukcji sinogramu.

```
def _reset(self):
    self._rotation_angle = 0
    self._emitter = self._center + self._initial_emitter_vector
    self._calculate_detectors()

def _reconstruction_step(self, step: int, anim: bool = False):
    self._rotate()
    for i, d in enumerate(self._detectors):
        line = self._brassenham(self._emitter, d)
        self._reconstructed_unnormed[line] += self._sinogram[i][step]

    if anim:
        print(step)
        norm = self._reconstructed_unnormed.max()
        return self._reconstructed_unnormed / norm * 255.0

def reconstruct(self, filter=True):
    self._reset()
    self._reconstructed_unnormed = np.zeros((self._h, self._w), dtype='float64')
    for i in range(self._steps):
        self._reconstruction_step(i)

    if filter:
        self.convolve()

    self._normalize()
    return self._reconstructed_bitmap

def _normalize(self):
    self._reconstructed_bitmap = self._reconstructed_unnormed * 255.0 /
    self._reconstructed_unnormed.max()

def convolve(self, k=100, mode='constant'):
    k = np.array([[10, 10, 10],
                  [10, k, 10],
                  [10, 10, 10]])
    self._reconstructed_unnormed = convolve(self._reconstructed_unnormed, k, mode=mode)

    return self._reconstructed_unnormed
```

*Listing 6: funkcje odpowiedzialne za rekonstrukcję obrazu*

Na początku emiter i detektory są ustawiane w pozycji startowej. Następnie na każdej z pozycji, dla każdego detektora wyznaczany jest odcinek emiter-detektor, a wszystkie punkty na tym odcinku są rozjaśniane o wartość odczytu z detektora przy danym kącie obrotu. Potem odtworzony obraz jest filtrowany (jeśli filtr został włączony) z maską 3x3 i wagą oryginalnego piksela 10, a otaczających go 1. Na koniec obraz jest normalizowany.

### 3 Wyniki eksperymentu

W ramach eksperymentu, z pomocą powyższego kodu, oraz funkcji *mse* implementującej miarę RMSE

```
class Tests:
    @staticmethod
    def mse(orig, final):
        err = np.sum((orig - final) ** 2)
        err /= orig.shape[0] * orig.shape[1]
        res = np.sqrt(err)
        return res
```

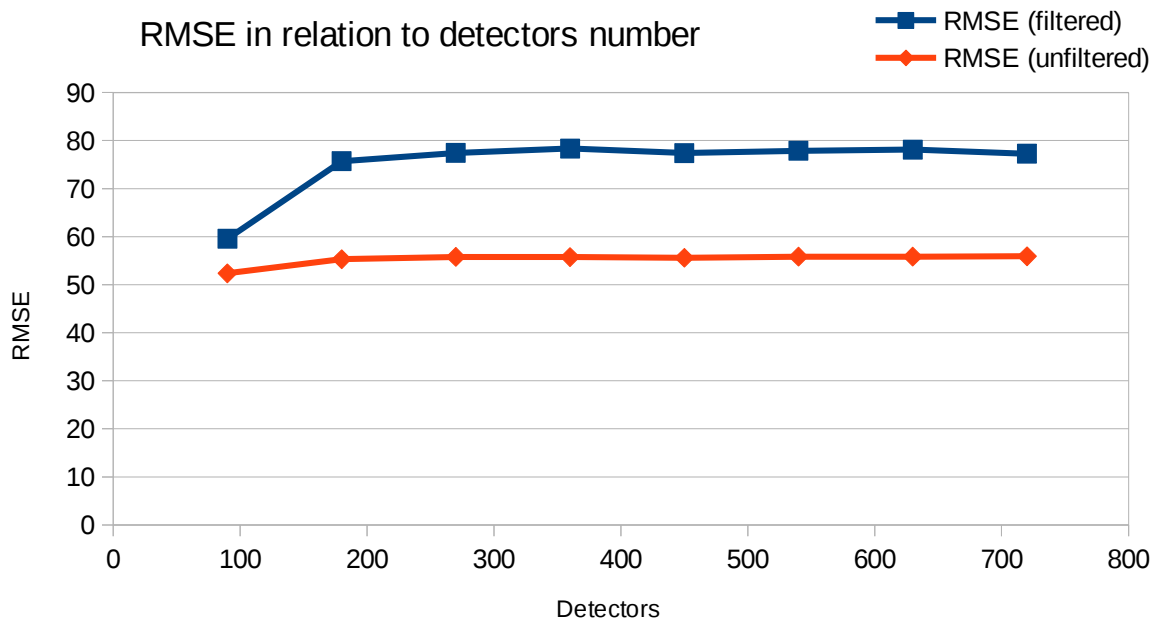
*Listing 7: początek klasy Tests*

wykonano badanie wpływu parametrów symulacji na dokładność rekonstrukcji obrazu Shepp\_logan.jpg – typowego testowego obrazu przedstawiającego sztuczne przybliżenie przekroju głowy ludzkiej.



*Rysunek 1: Shepp\_logan.jpg*

### 3.1 Zmiana RMSE w zależności od liczby detektorów

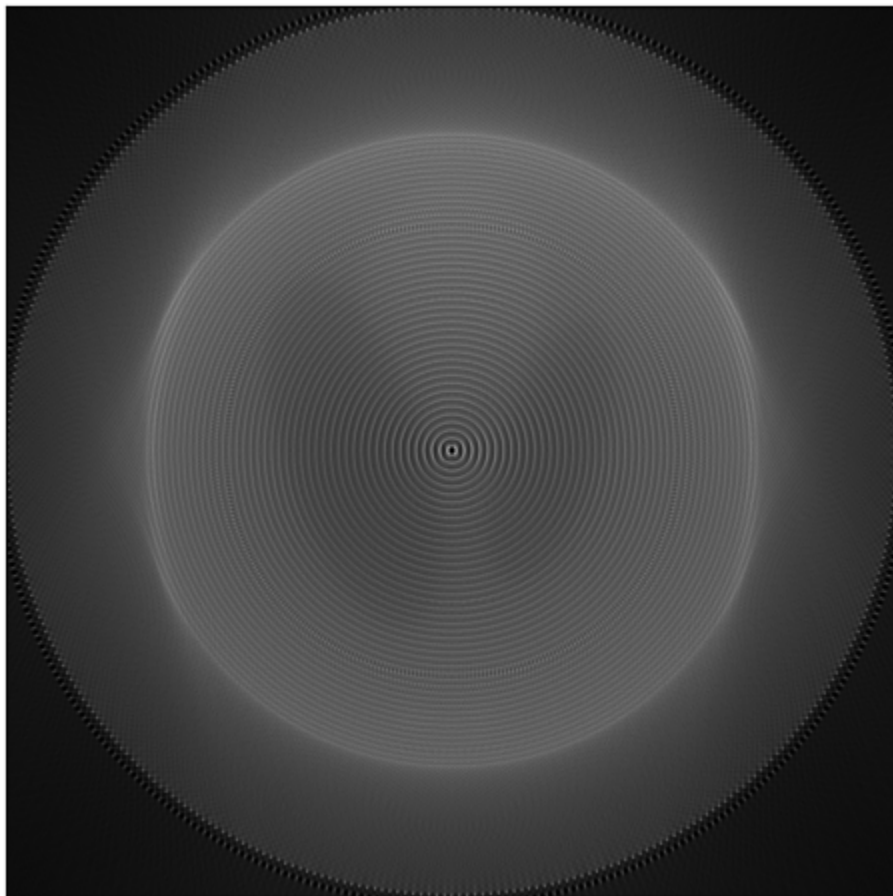


Wykres 1: RMSE w zależności od liczby detektorów

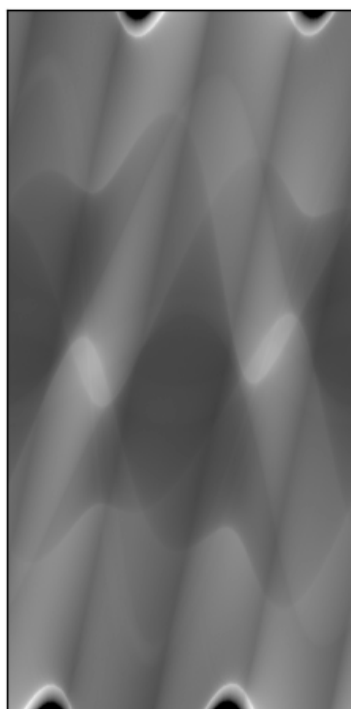
Jak widać, RMSE nie zmienia się znacznie wraz ze zmianą liczby detektorów, pomimo że różnica w subiektywnym odbiorze obrazu jest znaczna.



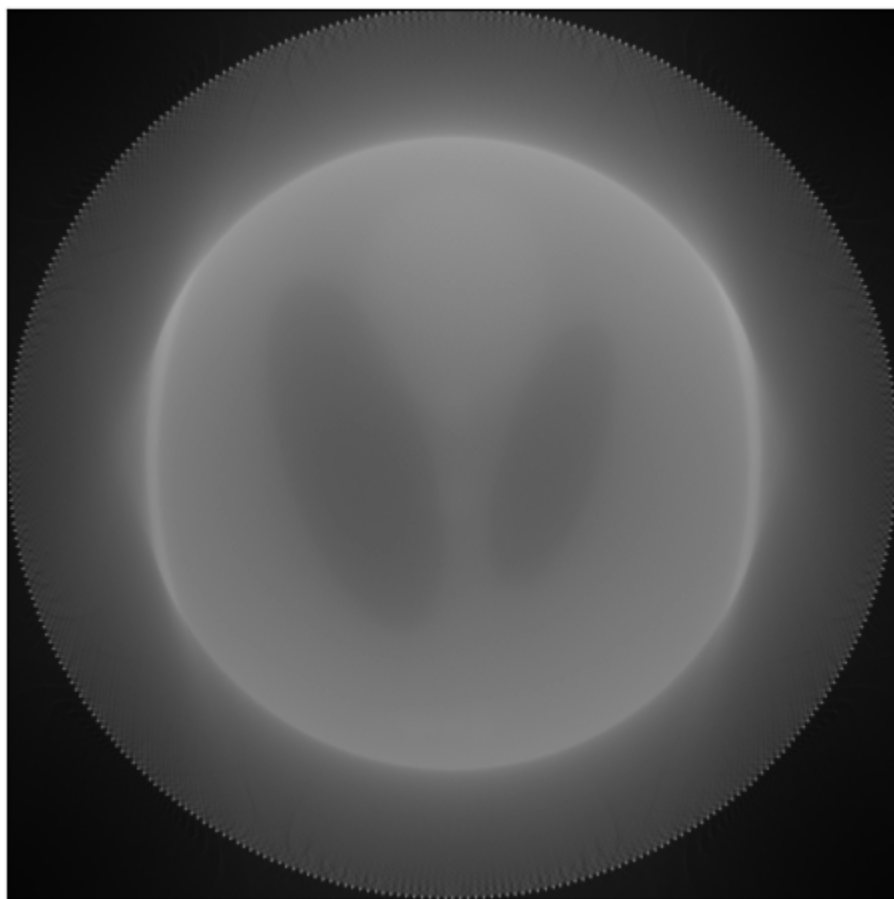
Rysunek 2: Sinogram dla 90 detektorów



*Rysunek 3: Rekonstrukcja dla 90 detektorów*

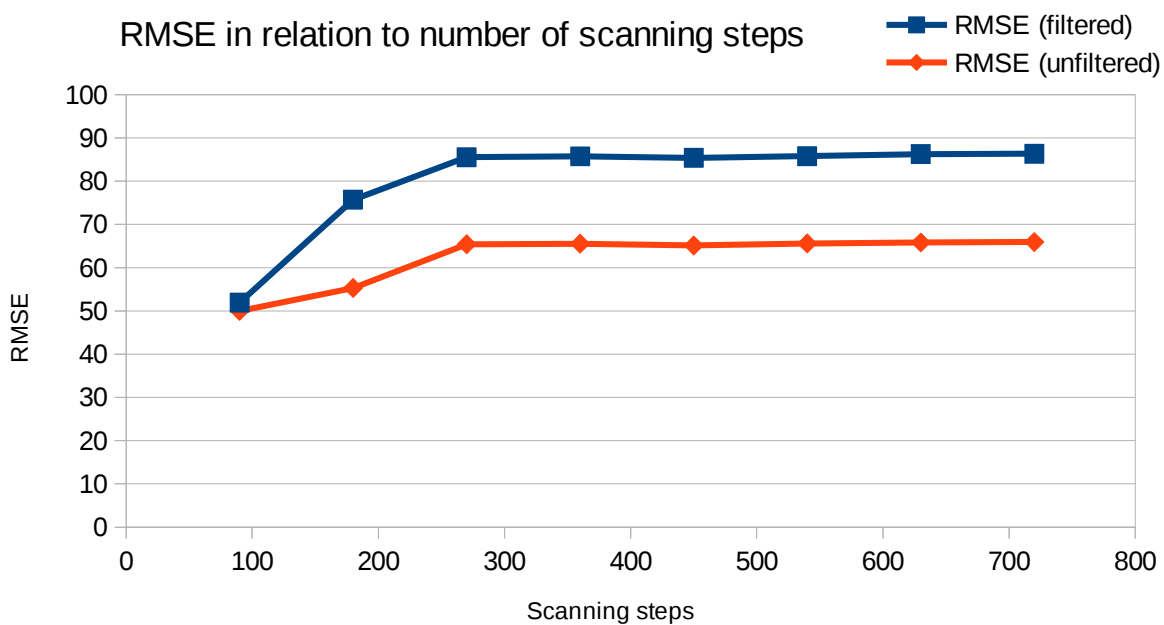


*Rysunek 4: Sinogram dla 720 detektorów*



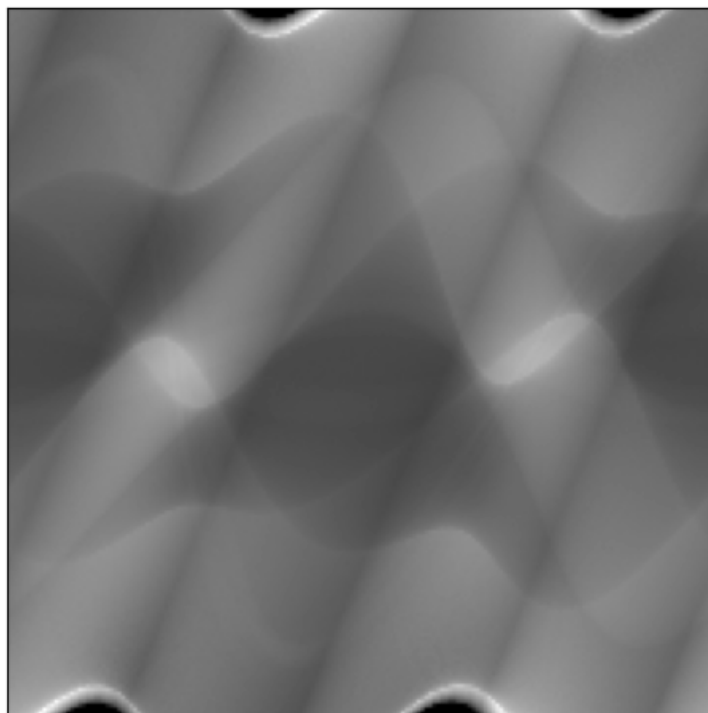
Rysunek 5: Rekonstrukcja przy 720 detektorach

### 3.2 Zmiana RMSE w zależności od liczby skanów

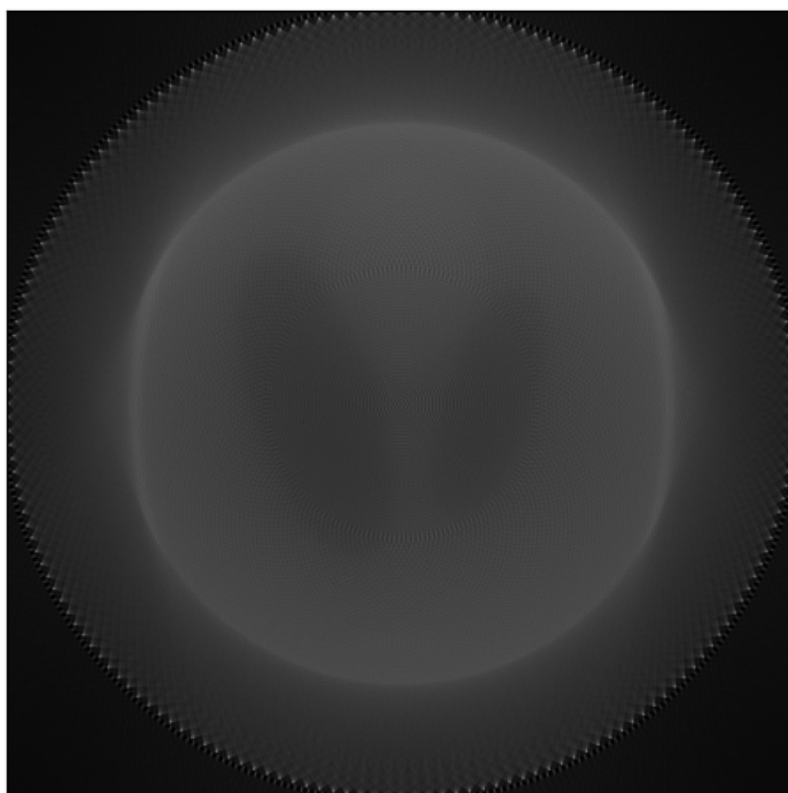


Wykres 2: RMSE w zależności od liczby skanów

Jak widać na wykresie, RMSE wbrew oczekiwaniom rośnie wraz z rosnącą liczbą skanów, aż w od ok. 300 skanów pozostaje na stałym poziomie. To po raz kolejny przeczy badaniu organoleptycznemu.



*Rysunek 6: Sinogram dla 90 skanów*

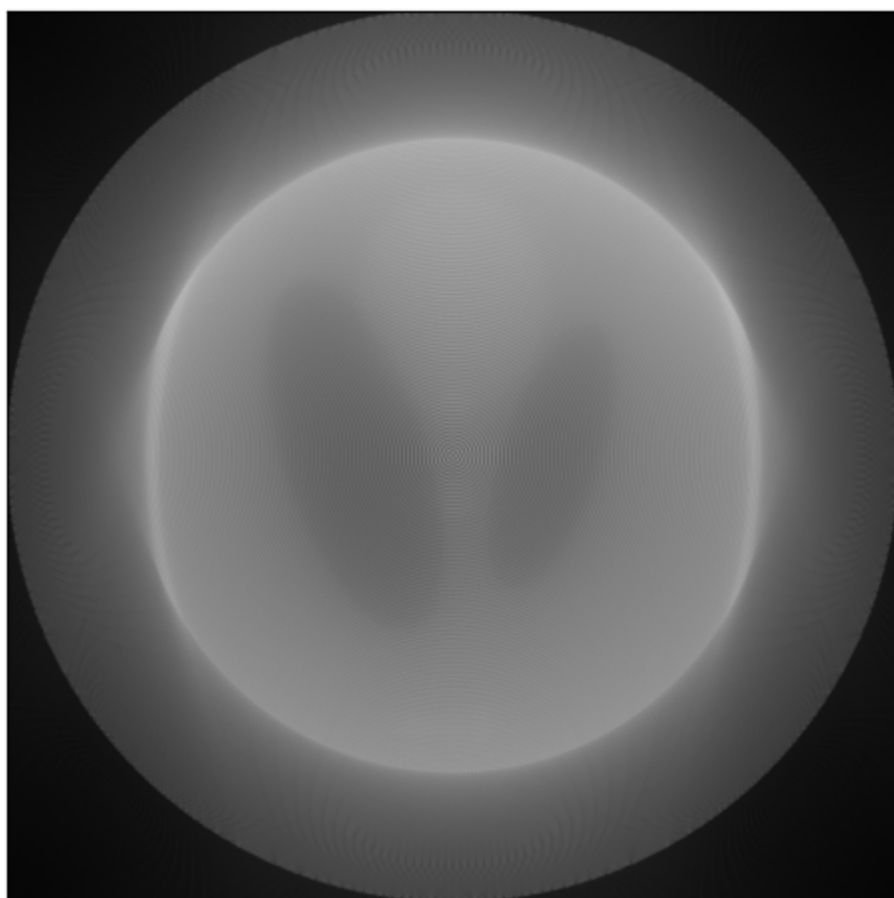


*Rysunek 7: Rekonstrukcja dla 90 skanów*



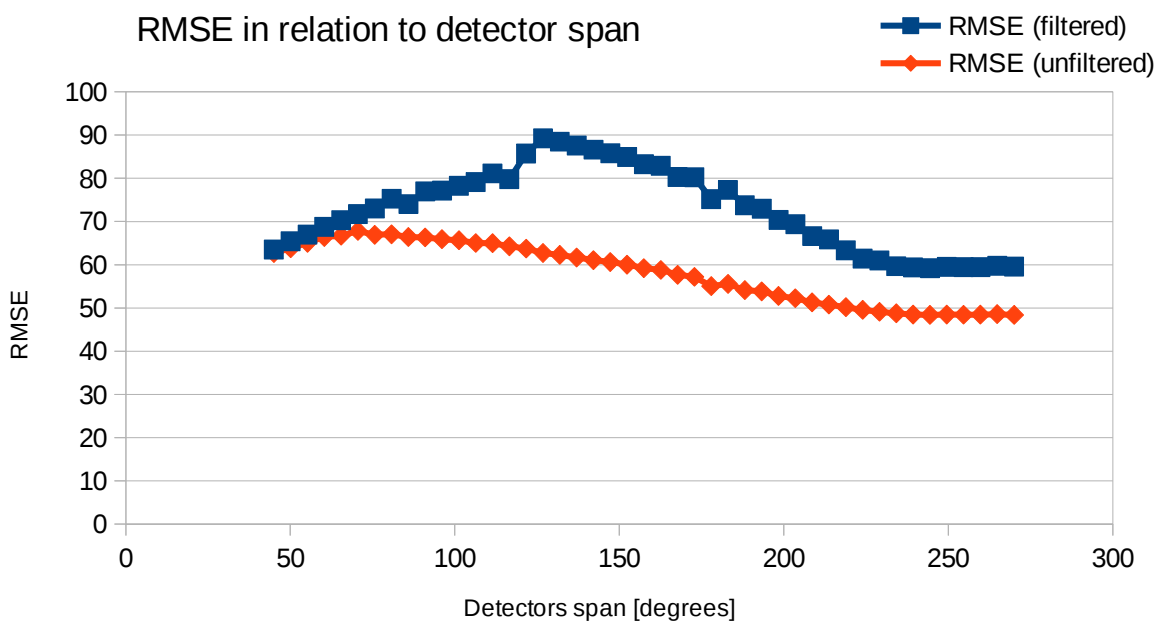


*Rysunek 8: Sinogram dla 720 skanów*



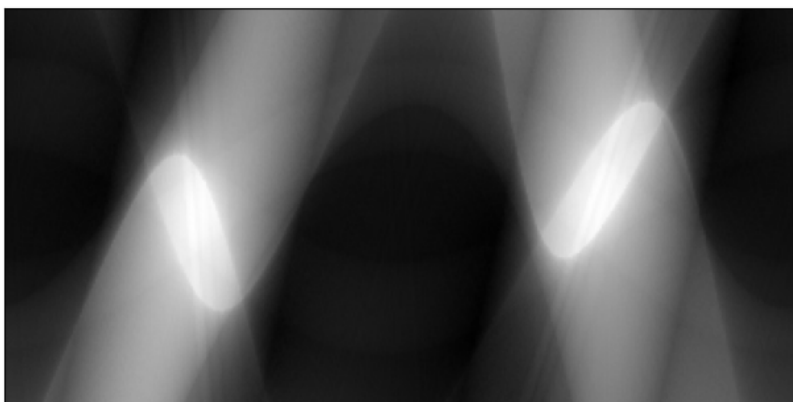
*Rysunek 9: Rekonstrukcja dla 720 skanów*

### 3.3 RMSE w zależności od rozstawu detektorów

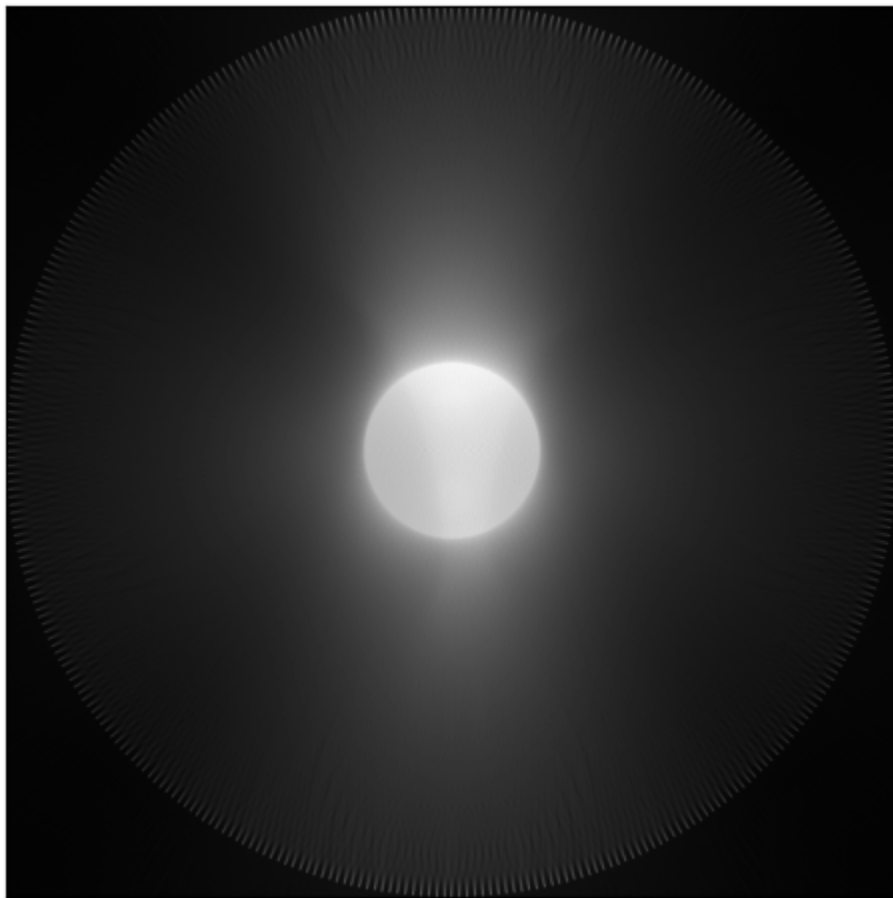


Wykres 3: RMSE w zależności od rozstawu detektorów

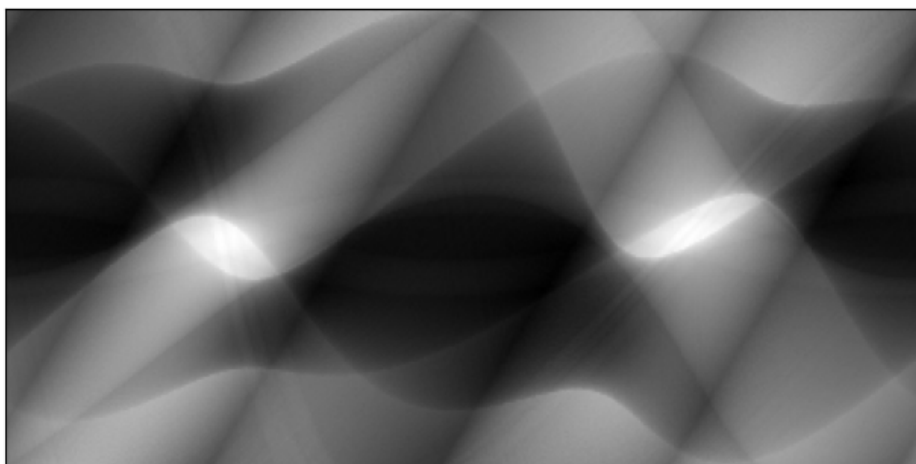
W tym przypadku otrzymujemy nieco niespójne wyniki – okazuje się że RMSE do pewnego momentu rośnie, a od ok  $120^\circ$  zaczyna maleć w przypadku obrazu uśrednianego splotem, ale od początku konsekwentnie maleje dla obrazu niefiltrowanego. Generalnie można przyjąć, że w obu przypadkach najlepiej sprawdzają się bardzo duże rozstawy detektorów. Pokrywa się to z obserwacjami ludzkimi.



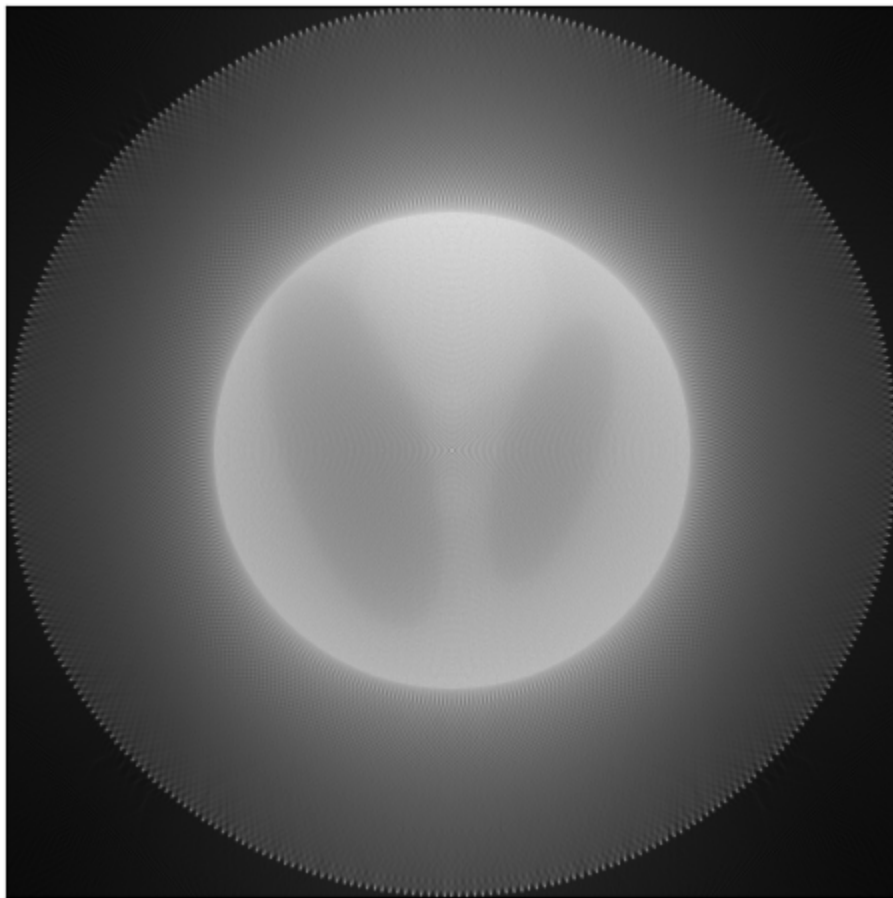
Rysunek 10: Sinogram przy rozwartości  $45^\circ$



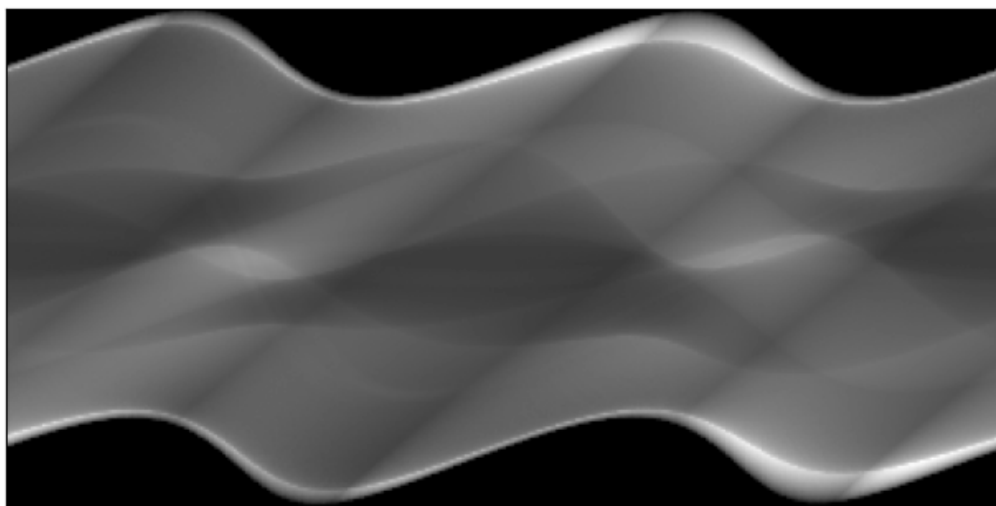
*Rysunek 11: Rekonstrukcja przy rozwarości 45°*



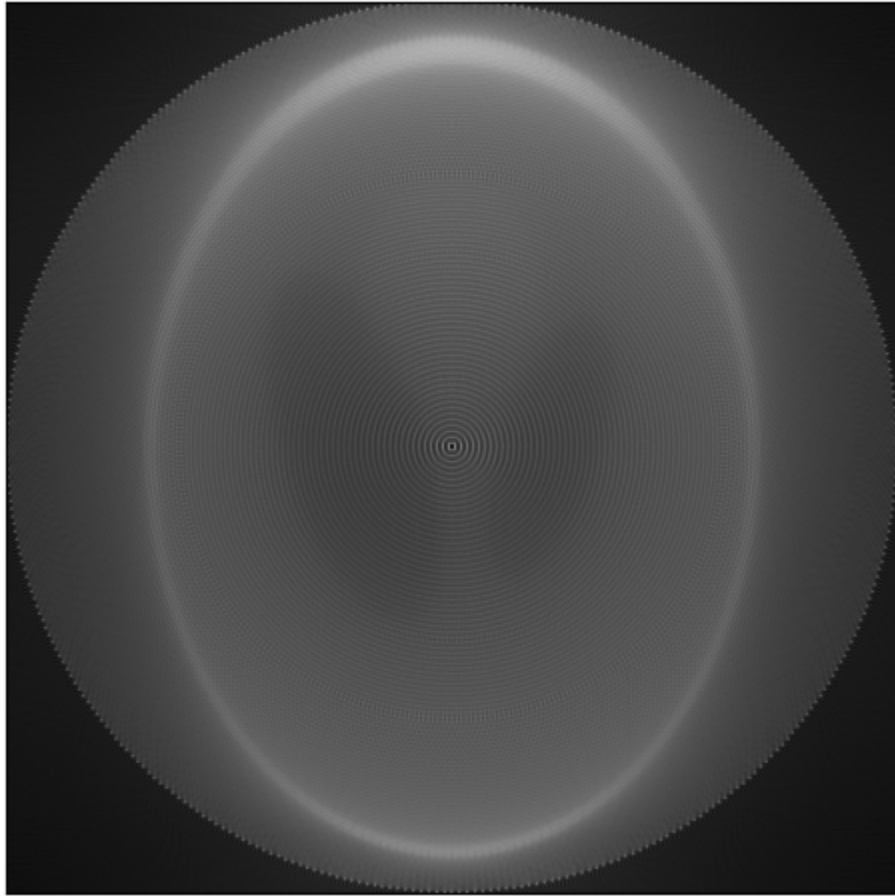
*Rysunek 12: Sinogram przy rozwarości 128° (okolice maksymalnego RMSE przy filtrowanym obrazie)*



*Rysunek 13: Rekonstrukcja przy rozwartości  $128^\circ$  (okolice maksymalnego RMSE przy filtrowanym obrazie)*

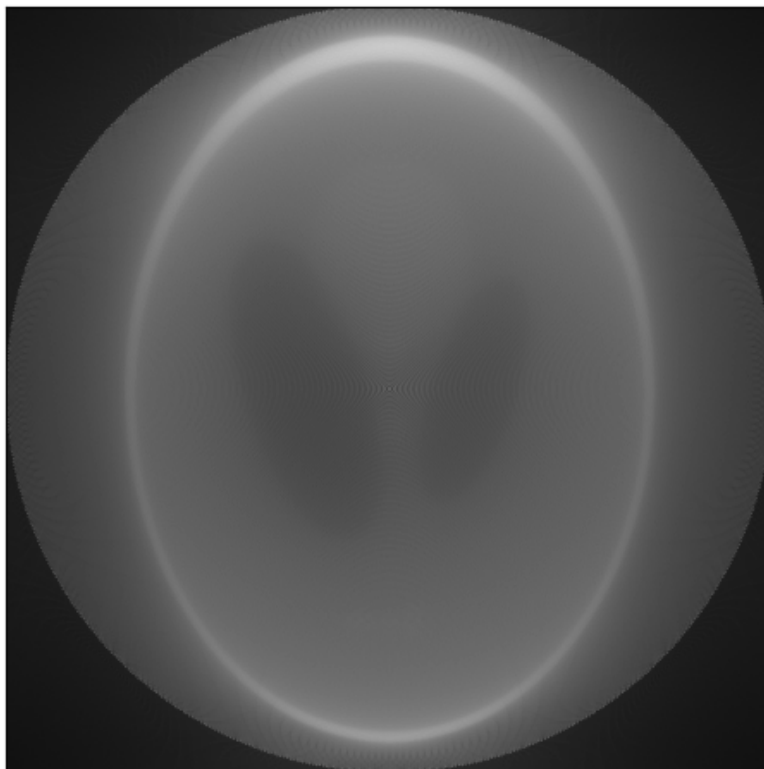


*Rysunek 14: Sinogram przy rozwartości  $270^\circ$*

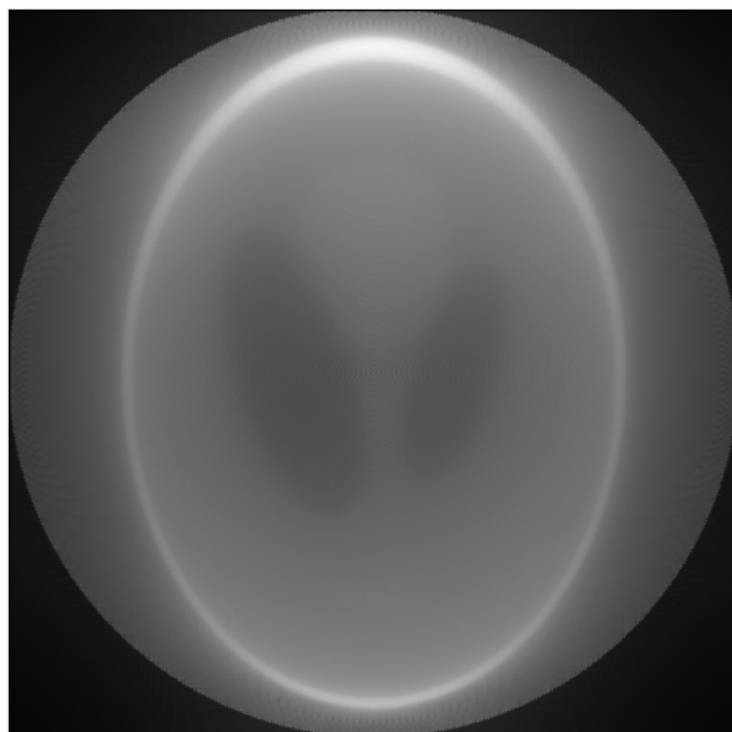


*Rysunek 15: Rekonstrukcja przy rozwartosci 270°*

### 3.4 Porównanie RMSE obrazu przed i po konwolucji

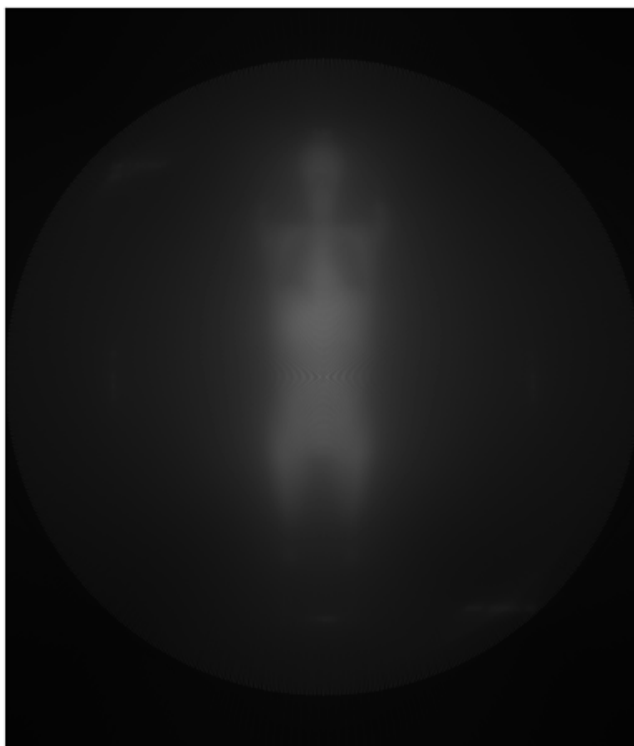


*Rysunek 16: Rekonstrukcja bez konwolucji; RMSE = 67*

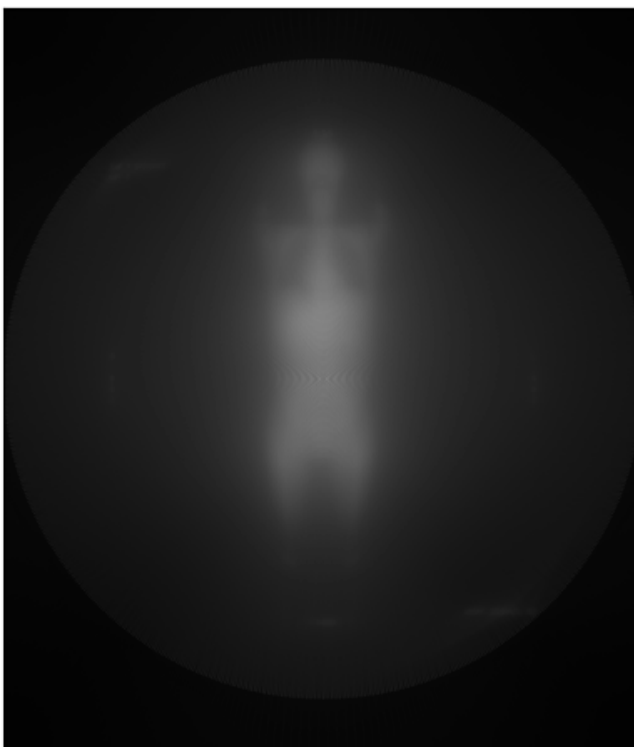


*Rysunek 17: Rekonstrukcja po konwolucji; RMSE = 81,63*

Jako drugi obraz wybraliśmy CT\_ScoutView-large.jpg.



*Rysunek 18: Rekonstrukcja przed konwolucją; RMSE = 28,08*



*Rysunek 19: Rekonstrukcja po konwolucji; RMSE = 32*





## 4 Źródła

<https://www.dicomlibrary.com/dicom/dicom-tags/>

[https://www.pclviewer.com/help/required\\_dicom\\_tags.htm](https://www.pclviewer.com/help/required_dicom_tags.htm)

<https://en.wikipedia.org/wiki/DICOM>

<https://gist.github.com/fubel/ad01878c5a08a57be9b8b80605ad1247>

[https://www.researchgate.net/publication/320616840 Implementation of the Radon transform based on the array of sources and reconstruction with Filtered Back Projection algorithm](https://www.researchgate.net/publication/320616840_Implementation_of_the_Radon_transform_based_on_the_array_of_sources_and_reconstruction_with_Filtered_Back_Projection_algorithm)

<https://github.com/antego/radon/blob/master/radon.cpp>

<https://arxiv.org/pdf/1512.09140.pdf>

[http://www.dsp.agh.edu.pl/media/pl:lukasz\\_mitka\\_10.01.2011.pdf](http://www.dsp.agh.edu.pl/media/pl:lukasz_mitka_10.01.2011.pdf)

<http://wmii.uwm.edu.pl/~panas/talks/inauguracja.pdf>

[https://en.wikipedia.org/wiki/Bresenham%27s\\_line\\_algorithm](https://en.wikipedia.org/wiki/Bresenham%27s_line_algorithm)

<https://www.geeksforgeeks.org/bresenhams-line-generation-algorithm/>

<https://www.cs.helsinki.fi/group/goa/mallinnus/lines/bresenh.html>

<https://github.com/encukou/bresenham>